

TU BERGAKADEMIE FREIBERG

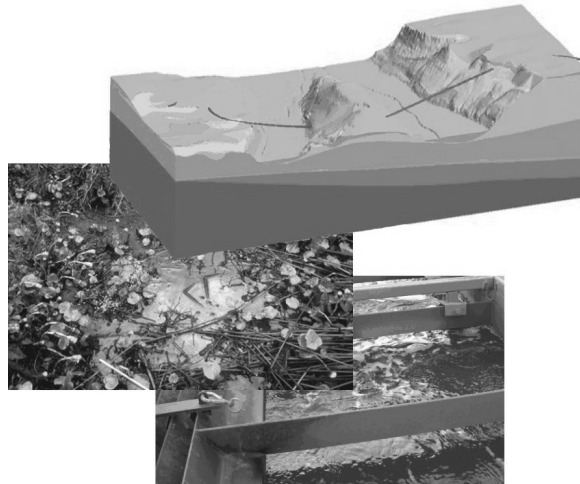
59. Berg- und Hüttenmännischer Tag



„Behandlungstechnologien für
bergbaubeeinflusste Wässer“

„GIS – Geowissenschaftliche
Anwendungen und Entwicklungen“

12. und 13. Juni 2008



Institut für Geologie der TU Bergakademie Freiberg

Prof. Dr. Broder J. Merkel

Prof. Dr. Helmut Schaeben

Dipl.-Geol. Andrea Hasche-Berger

Inhaltsverzeichnis

Glück Auf und Herzlich Willkommen!	7
Behandlungstechnologien für bergbaubeeinflusste Wässer	9
Graupner, B.; Koch, Ch.; Benthous, F.-C; Werner, F. Das Lausitzer Revier im Spannungsfeld bergbaulicher Beeinflussung des Grundwassers und rechtlicher Rahmenbedingungen	11
Unger-Lindig, Y.; Merkel, B. Verwendung von Eisenhydroxidschlämmen zur Verbesserung der Alkalinität	19
Schipek, M.; Merkel, B. Pilotversuch zur CO ₂ -Injektion in alkalische Sedimente eines Tagebaufolgesees - Erste Ergebnisse.....	25
Koch, Ch.; Graupner, B.; Werner, F. Pilotversuch zur Wasserbehandlung im Tagebausee Burghammer unter Verwendung von CO ₂ und Braunkohlenfilterasche.....	31
Koch, Th.; Preuß, V.; Schöpke, R.; Koch, R. Pilotversuch zur kombinierten Förderung und Aktivierung alkalischer Sedimente mittels Druckluftheber (Airlift) und CO ₂ -Einsatz	39
Scholz, G.; König, W.; Teuchert, R. Neutralisation des Speicherbecken (SB) Burghammer einschließlich Nachsorge mit Inlaketechnik.....	47
Pust, Ch.; Saure, H. Übertragbarkeit schwedischer Erfahrungen bei der Behandlung saurer Tagebaufolgeseen in Deutschland	57
Merkel, B.; Schipek, M. Prognosewerkzeuge zur Beurteilung der Effizienz von Inlaketechniken für die Neutralisation und Nachsorge saurer Tagebaufolgeseen.....	65
Neumann, V.; Nitsche, C.; Pokrandt, K.-H.; Tienz, B.-St. Quantifizierung des Aciditätszustroms in einen neutralisierten Tagebausee zu Beginn der Nachsorgephase.....	73
Reichel, M.; Bergmann, Ch.; Graupner, B.; Koch, Ch.; Werner, F. Beschaffenheitsprognose für Sumpfungswässer am Beispiel des Tagebaues Vereinigtes Schleen- hain.....	81
Preuß, V.; Schöpke, R.; Koch, R. Technikumsversuche zur Abreinigung von Eisen und Sulfat aus Kippengrundwässern durch mikrobielle Sulfatreduktion.....	89
Wagner, St.; Bilek, F.; Schaarschmidt, T.; Seifert, J.; Gniese, C.; Schlömann, M. Identifikation des limitierenden Faktors der biologischen Sulfatreduktion in zwei Technikums- versuchen.....	97
Janneck, E.; Terno, D.; Heinzl, E.; Rolland, W.; Schlee, K.; Glombitza, F.; Nowak, O. Untersuchung und Optimierung des Prozesses der mikrobiologischen Eisenoxidation für die Behandlung von eisen- und sulfatreichen Bergbauwässern.....	105
Wendt-Potthoff, K.; Schultze, M.; Bohrer, B.; Koschorreck, M.; Geller, W. Nutzung von Molke zur Sauerstoffzehrung und Eisenreduktion in einem Feldversuch zur biologischen Neutralisierung.....	115
Götze, J.; Pieplow, G.; Dullies, F. Sorptionsmedien zur Behandlung von Gruben- und Sickerwässern	123
Steinberger, P.; Rieger, A.; Haseneder, R.; Härtel, G.; Pelz, W. Scalingproblematik bei der Aufbereitung von AMD mittels Membranverfahren.....	129
Schöpke, R. Nutzung der Ergebnisse von labor- und kleintechnischen Versuchen zur Vorbereitung und Durchführung von in-situ Sanierungsmaßnahmen	135
Pohler, M.; Martienssen, M.; Weiß, H.; Trabitzsch, R.; Geistlinger, H. Gastracer-Versuche zur Abschätzung der Raumwirkung bei Direktgasinjektionen zur Grundwassersanierung.....	141

Wolkersdorfer, Ch.; Kubiak, C.	
Low Density Sludge Storage in the flooded Straßberg/Harz Underground Mine	149
Löser, R.; Schneider, P.	
Wassermanagementkonzept für das ehemalige Kupferbergbauegebiet Medet (Bulgarien)	161
Zilberchmidt, M. G.; Agafonov, J. F.; Dmitriev, A. P.; Shpirt, M. J.	
Kriterien einer multifunktionalen Bewertung von Grubenwasser und Begründung von Naturschutzmassnahmen zur Sicherstellung des Hydrosphärenschutzes bei der Gewinnung und Aufbereitung von hochschwefelhaltigen Kohlen.....	169
Lobacheva, O.; Sulimova, M.	
Foam separation of the cations of the Ce (III) and Y (III) from aqueous solutions by the addition of the surfactant	171
GIS – Geowissenschaftliche Anwendungen und Entwicklungen	177
Rupf, I.; Armbruster, V.	
Das geologische Modell des Informationssystems Oberflächennahe Geothermie für Baden- Württemberg	179
Germann, D.; Schumacher, J.; Schuff, J.; Schweizer, R.; Sokol, G.	
Weiterentwicklung des LGRB-Mapservers und technische Informationen zum Informationssystem oberflächennahe Geothermie (ISONG)	183
Agemar, T.; Alten, J.-A.; Kühne, K.; Maul, A.-A.; Pester, S.; Wirth, W.; Schulz, R.	
Aufbau eines geothermischen Informationssystems für Deutschland	189
Lewin, I.; Hoppe, A.	
Optimierung eines geologischen 3D Modells unter Zuhilfenahme hydraulischer Daten am Beispiel der Hanau-Seligenstädter Senke (Südhessen).....	197
Lademann, K.; Breuckmann, S.; Hoffers, B.; Reimann, R.	
Das geologische 3D-Modell von Niedersachsen auf Grundlage des Geotektonischen Atlas von Nordwestdeutschland – ein Statusbericht.....	201
Görne, S.; Felix, M.	
3d-modeling with gOcad helps managing flushing problems in abandoned mines	203
Ehrler, Ch.; Niemeyer, I.	
3D Geländemodellierung und Gebäudevisualisierung mit OpenSceneGraph unter Nutzung von KML und COLLADA	205
Götze, H.-J.; Schmidt, S.; Fichler, Ch.; Alvers, M.	
3D Interactive Geophysical Modeling	211
Balaska, P.; Thomae, M.; Kühne, H.	
Von der klassischen geologischen Karte zur Planungsunterlage	215
Bothmer, D.	
Nutzung von cardo-Komponenten zum Aufbau flexibler Geodateninfrastrukturen	223
Mielke, L.; Burger, H.	
Thematische Webkartographie mit Google Maps — Erstellen interaktiver Karten mit dem Google Maps API.	227
Knorr, U.	
Medienabhängige Aufbereitung, Bereitstellung und Präsentation geowissenschaftlicher Fachdaten	235
Sieste, M.; Noack, S.; Irkhin, A.	
Georisikoprognose mittels künstlicher Intelligenz und GIS.....	237
Schreiber, U.; Nguno, A.	
Geological Survey of Namibia – Steps Toward Modern Data Management.....	245
Boamah, K. O.	
Ghana Geodatabase at the Geological Survey Department	253
Kiselev, V.	
Creation of the territory regionalization map by means the GIS on the basis of the statistical uniformity estimation of multivariate data, which do not submit to the normal distribution.....	263
Autorenverzeichnis	269